

电 路 实 验

电工教研室



TM1/118-2
↓
24

TM13-33 /

南京航空学院

1981.7.

TM13/0125

江南大学图书馆



91089186

045222

电 路 实 验

目 录

| | | | |
|------|-------------------------------|-----------|----|
| 实验一 | 直 流 电 阻 的 测 量 | — — — — — | 1 |
| 实验二 | 电 容 及 损 耗 特 性 | — — — — — | 4 |
| 实验三 | 戴 维 南 定 理 | — — — — — | 8 |
| 实验四 | 阻 抗 的 串 联 | — — — — — | 13 |
| 实验五 | 电 容、电 感 的 频 率 特 性 | — — — — — | 16 |
| 实验六 | 串 联 谐 振 (RLC) | — — — — — | 18 |
| 实验七 | R C 移 相 电 路 的 研 究 | — — — — — | 21 |
| 实验八 | R C 选 频 电 路 的 研 究 | — — — — — | 25 |
| 实验九 | 互 感 电 路 | — — — — — | 29 |
| 实验十 | 三 相 电 路 | — — — — — | 33 |
| 实验十一 | 一 阶 电 路 的 各 种 响 应 | — — — — — | 39 |
| 实验十二 | 二 阶 电 路 的 各 种 响 应 | — — — — — | 44 |
| 实验十三 | 无 滞 变 衰 减 四 电 路 的 研 究 | — — — — — | 46 |
| 实验十四 | 双 口 网 络 的 研 究 (-) — 测 定 参 故 | — — — — — | 51 |
| 实验十五 | 双 口 网 络 的 研 究 (二) — — 频 率 特 性 | — — — — — | 54 |
| 实验十六 | 回 转 口 的 研 究 (-) — — 特 性 | — — — — — | 57 |
| 实验十七 | 回 转 口 的 研 究 (二) — — 并 联 谐 振 | — — — — — | 60 |

实验一 直流电阻的测量

一、实验目的：

- 熟悉三用表、惠斯登电桥（测电阻）使用方法。
- 熟悉测量电阻的伏安法。
- 学习测定元件的电压电流关系（伏-安特性）。

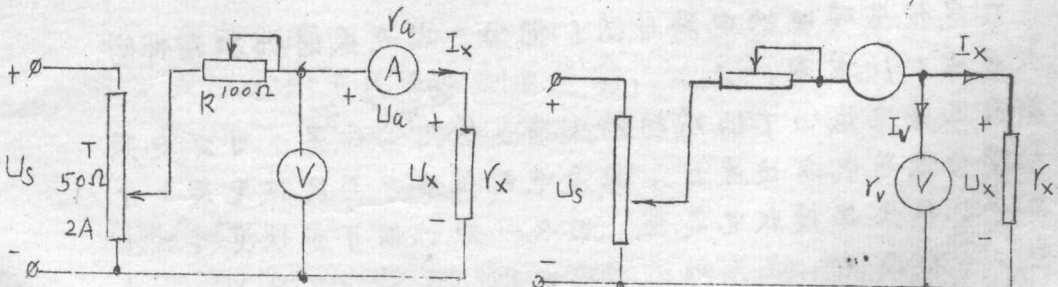
二、概述：

1. 测量直流电阻最简单的方法是用三用表的几档去测，但其准确度很低；用电桥测得的准确度高，但需要专用的电桥。除此还有一种比较常用的方法是伏特表、安培表法。简称“伏安法”，由欧姆定律可知

$$R_x' = \frac{U}{I}$$

可决定未知电阻数值。式中 U、I 分别为伏特表、安培表读数。

测定时，接线方法有两种，如图 1-1、1-2 所示。由于仪表本身存在电阻，不论采用哪种方法，均会造成误差。



图中： R_x 是被测电阻、 r_v 是伏特表内阻、 r_a 是安培表内阻。

在图 1-1 中，由于伏特表接在安培表之前，则伏特表读数除包括被测电阻 R_x 的两端电压 U_x 外，还包括安培表两端电压 U_a ，因此有

$$R_x' = \frac{U_x + U_a}{I_x} = \frac{U_x}{I_x} + \frac{U_a}{I_x} = R_x + r_a$$

这时引起的相对误差为：

$$\gamma = \frac{r'_x - r_x}{r_x} = \frac{r_a}{r_x} \times 100\%$$

再看图1-2，由于安培表接在伏特表之前，则安培表读数除包围 r_x 中的电流 I_x 外，还包括电压表中的电流 I_v ，因此有

$$r'_x = \frac{U_x}{I_x + I_v} = \frac{1}{\frac{I_x}{U_x} + \frac{I_v}{U_x}} = \frac{1}{\frac{1}{r_x} + \frac{1}{r_v}} = \frac{r_x \cdot r_v}{r_x + r_v}$$

这时的相对误差为：

$$\gamma = \frac{r'_x - r_x}{r_x} = \frac{-r_x^2}{r_x(r_x + r_v)} = -\frac{r_x}{r_x + r_v} \times 100\%$$

由上可见，因为实际的伏特表内阻不是无限大，而电流表的内阻也不可能为零，所以用“伏安法”测电阻时，无论采用那种接法均会出现误差，这种由测量方法造成的误差，称为方法误差。通常为了减少方法误差，在测大电阻用图1-1的线路，测小电阻时用图1-2的线路。

2. 测定伏安特性的电路与图1相同，也应根据被测元件的阻值大小选图1-1或图1-2。
另

实验前先将电位器的滑动触头移至输出的位置，可变电阻尺的滑动触头放在中间位置上，接通电源调节T与尺使电压上升，对于每一个电压值读取电流值，由这一组数据可在伏安特性坐标上找到一个对应点，在元件的额定电压（或额定电流）范围内选取5~6组数据，便可在伏安特性坐标上得到5~6个点，将这几个点（包括原点在内）连成一条曲线，就是伏安特性。对于线性电阻元件将是一条过原点的直线；对于非线性元件则是一条曲线。

三、实验内容：

1. 先用三用表电阻档测两块被测电阻 r_{x_1}, r_{x_2} 的阻值。
2. 再用惠斯登电桥测 r_{x_1}, r_{x_2} 的阻值。
3. 分别按图1-1和图1-2线路接线，测 r_{x_1} 的阻值。每

种线路最少测两次，即取不同的电压值，最后取两次阻值的平均值。

4. 同上测量 R_{x_2} 的阻值。

5. 测定 R_{x_1} 、 R_{x_2} 的伏安特性。(可与步骤 3、4 合併进行)

6. 利用三用表电阻档判断二极管的“+”、“-”端。

7. 测定二极管的伏安特性。(正向时阻值小采用图 1-2 的线路，反向时电阻很大应采用图 1-1 的线路，因为电流很小可换用微安表测量)。

四. 实验设备：

| | |
|---|----|
| 1. 直流稳压电源 | 一台 |
| 2. MF-9 型万用表 | 一只 |
| 3. QJ-23 型惠斯登电桥 | 一只 |
| 4. 直流电压表 (0-3--7.5-15-30V) | 一只 |
| 5. 直流电流表 (0-7.5mA -) | 一只 |
| 6. 直流微安表 (0-100μA) | 一只 |
| 7. 滑线变阻器 (50Ω, 2A) | 一只 |
| 8. 滑线变阻器 (100Ω, 2A) | 一只 |
| 9. 电阻架 (包括被测电阻 R_{x_1} 、 R_{x_2} 板和一只二极管) | 一块 |

五. 实验报告：

- 根据“伏安法”测得的数据，计算出电阻值 R'_{x_1} 与 R'_{x_2} 及 R''_{x_1} R''_{x_2} 。
- 以电桥测得的阻值为准，分析比较各种方法的精确度。
- 作 R_{x_1} 、 R_{x_2} 的伏安特性
- 作二极管的伏安特性。(第一象限即正向与第三象限即反向应取不同的坐标比例尺。)

实验二 电位器的输出特性

一、实验目的：

学习了解电位器输出特性。

二、概述：

1. 电位器实际上是一只可变电阻而已，它有旋转式与滑线式两种，在无线电设备及各种电子仪器上应用极为广泛。它在电路图中的符号如图 2-1 所示。当旋转转柄（或移动滑臂）时，与电阻接触的簧片即随着转动（或移动），即 C 与任一固定端（a 或 b）的电阻发生变化。

电位器有线绕电位器及碳膜电位器两类；前者适用于低阻大功率，后者适用于高阻小功率，有些电位器还附有开关。

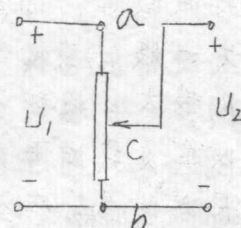


图 2-1

电位器在电路中的联接方式如图

2-1. 两固定端 a 及 b 接输入电压 U_1 ，滑动触头 C 及一外固定端 b 接负载，C、b 间的电压 U_2 为输出电压。当移动滑动触头 C 时，输出电压 U_2 可在 0 与 U_1 之间均匀调节。

实验室中的滑线变阻器也可当作电位器使用，藉此可以调节电压的大小。（一般用在直流电源上，因为交流电压的调节是用调压变压器进行的）。

2. 图 2-2 所示为 R 接成电位器使用时的电路。空载时（K 断开）， U_2 的大小与滑动触头的位置成线性关系，如图 2-3 中的曲线①。

带负载时（K 闭合），若 $R_{f2} = 3R$ 时， U_2 大小与滑动触头位置的关系如曲线②。

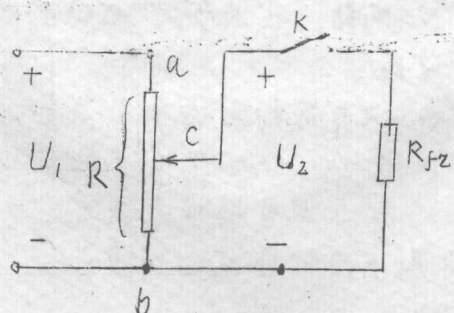


图 2-2

若 $R_{f2} = \frac{1}{6} R$ 时，上述关系就如图中曲线③那样弯曲了。

上述曲线随着 R_{f2} 的减小而变弯曲，请读者予以解释。（我们权且称这些曲线为电位凹的输出特性）

从上述曲线来看，曲线①、

②输出特性较好，而曲线③则较差，因为在前半段上，滑动触头移动很长一段 U_2 变化较少；而在后半段，滑动触头移动很小一段， U_2 变化又较大。这种状况在很多场合是不希望发生的。

所以在负载电阻 R_{f2} 一定时，电位凹的阻值不宜选得过大，一般在 $R \approx \frac{1}{3} R_{f2}$ 左右较为合适，因为过大，功耗增加，经济效果不好。

3. 根据不同的特殊需要，电位凹的空载输出特性还要特别做成指故曲线型或对故曲线型。

三 实验内容：

测定输出特性，试验采用图 2-4 所示的实验线路。电位凹 $R = 300\Omega$ ，两个负载电阻分别为 1000Ω 和 100Ω 。

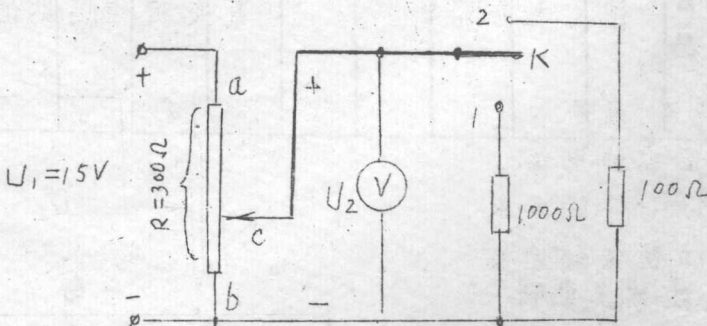


图 2-4

在实验开始前，将电位凹的滑动触头 C 移到 b 端，即输出电

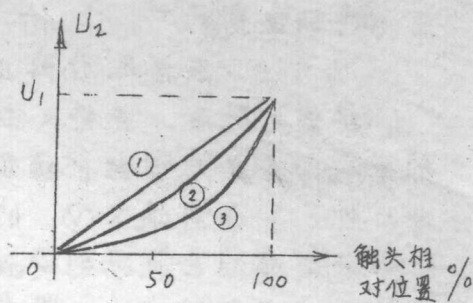


图 2-3

· 6 ·

压为零的位置。

$U_1 = 15V$ 取自直流动压电源。

接通电流后，先将 K 断开，即空载，这时移动 C 至使 V 的读数为 1.5V 为止。这时 C 的位置即为全程的 10%，然后将 K 分别打向 1 与 2；分别读下 V 的读数，填入表中。

然后移动 C 使 V 的读数为 3V，即 C 的位置为全程的 20% 重复上述过程。

直至 C 移至 a 端为止。

由此便可作出空载、及负载分别为 1000Ω 与 100Ω 的输出特性。

$U_1 = 15V, R = 300\Omega$

表 2-1

| C 点相对于全程的位置 | 0 | 10% | 20% | 30% | 40% | 50% | 60% | 70% | 80% | 90% | 100% |
|---------------------------|---|-----|-----|-----|-----|-----|-----|------|------|------|------|
| 空载时的输出电压 (V) | 0 | 1.5 | 3.0 | 4.5 | 6.0 | 7.5 | 9.0 | 10.5 | 12.0 | 13.5 | 15.0 |
| 负载电阻为 1000Ω 时的输出电压 | | | | | | | | | | | |
| 负载电阻为 100Ω 时的输出电压 | | | | | | | | | | | |

四. 实验设备：

- | | |
|-------------------------------------|----|
| 1. 直流稳压电源 | 一台 |
| 2. 直流电压表 ($0-15V$) | 一只 |
| 3. 滑线变阻器 ($300\Omega, 1A$) | 一只 |
| 4. 电阻 \square (1000Ω 作负载) | 一只 |
| 5. 电阻 \square (100Ω 作负载) | 一只 |

6. 单刀双掷开关

—只

五. 实验报告:

1. 根据实验结果，作出电位器在空载及两种负载情况下的输出特性。

2. 为什么负载电阻 R_{f2} 越小输出特性越弯曲（即 C 在同样位置上，输出电压与空载时相比较下降越多）？从理论上分析其原因。

3. 在带负载情况下，若要输出特性为一直线，试设想采取什么措施？

实验三 戴维南定理

一、实验目的：

1. 学习测定有源二端网络的等效电势与等效电阻的方法。
2. 验证戴维南定理。

二、概述：

1. 戴维南定理指出，任何线性有源二端网络（图3-1）都可用一个等效电势与一个等效电阻串联（图3-2）来代替。

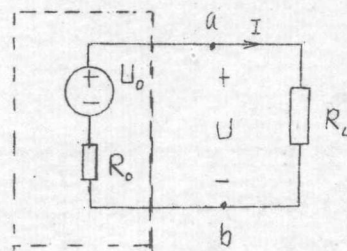
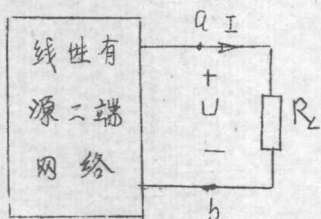


图 3-1 原电路

图 3-2 等效电路

设图3-2是图3-1的等效电路，若在ab间接一负载 R_L ，则不论是原电路还是等效电路，ab间的电压 U_{ab} 与输出电流I是一致的。

从图3-2知等效的有源二端网络的外特性（输出电压U与输出电流I的关系）为 $U = U_0 - R_0 I$ 。它是一条直线，如图3-3，图3-1原二端网络也应有同样的关系。

2. U_0 和 R_0 可以由计算求得，也可用实验的方法测定，最简单的方法是对待测参数的有源二端网络进行开路和短路实验。开路实验测出开路电压 U_0 ；短路实验测出短路电流 I_S 。则：

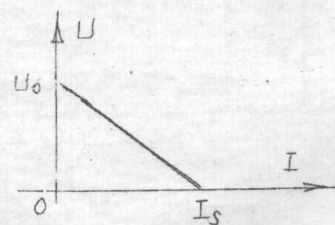


图 3-3

$$R_o = \frac{U_o}{I_s} \quad (3-1)$$

本实验电路设计时考虑到可以短路，但某些有源二端网络是不允许短路的，（因 I_s 太大，会损坏内部元件）这时可间接地进行测定。首先测出开路电压 U_o ，然后接上一负载电阻 R_o ，测定 U 及 I ，如图 3-4。根据电路基本定律有

$$U = U_o - R_o I$$

因为式中 U 、 U_o 、 I 均已测出，故可标出 R_o 的数值。

$$R_o = \frac{U_o - U}{I} \quad (3-2)$$

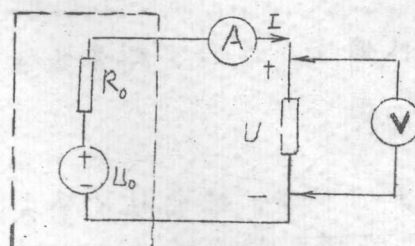


图 3-4

式(3-1) 实际上是式(3-2)的特殊情况，因短路时 $U=0$ ， $I=I_s$ ，式(3-2)就成了 (3-1)。

3. 测开路电压最简单的方法是以电压表直接测量。但因实际的电压表内阻不是无限大，接入电路后，要吸取一小电流 I_V ，如图 3-5，这电流流过电阻 R_o 。要产生压降，故这时 V 的读数 $U_V \neq U_o$ 。

只有在 $R_V \gg R_o$ 时两者方可认为近似相等 $U_V \approx U_o$ 。所以用 V 测出的电压 U_V 作为 U_o 代入式(3-1) 计标的等效电阻 R_o 。会造成一定误差。

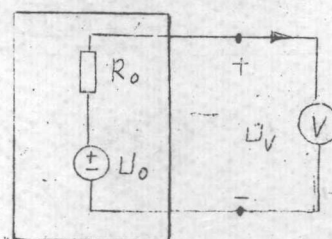


图 3-5

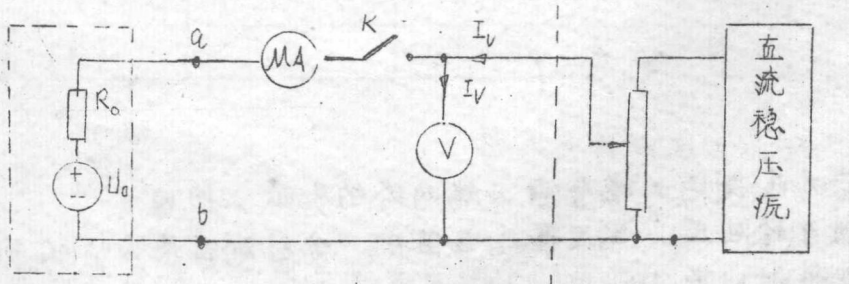


图 3-6

补偿电流

13.

为消除这种方法误差，可采用补偿法测电压，方法如下：先用三用表的直流电压档，测出ab间电压的大致数值，然后将补偿电流的电压调至这数值，再接通K，一凸观察(A)的读数，一凸调节补偿电流的电压，直至(A)的读数为0，则这时(V)的读数就是 U_0 的数值。这时(V)的电流是取自补偿电流，所以对被测电路无影响。

上述补偿法，适用于测量任何电路中的电压。

三、实验内容：

如图3-7所示，将电阻R拿去，从a、b两点向虚线框内看进去，是一有源二端网络。本实验任务是测定该网络的等效参数，并用等效电源代替，从而证明戴维南定理的正确性。

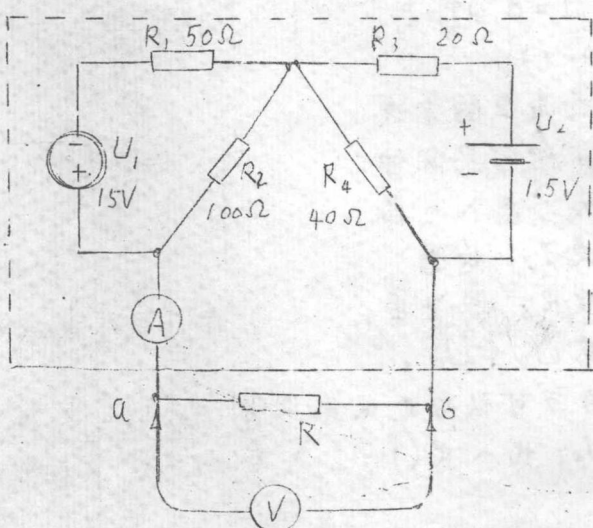


图 3-7

1. 用实验方法测定上述有源二端网络的参数。按图3-7接好电路。先测开路电压，然后接上电阻R，分别测出R为 1.50Ω 、 3.0Ω 、 0 时的电压及电流列入表3-1中。

各电压按前述的补偿法测量。

表 3-1

| | | | | |
|--------------|---------------|-----|----|--------|
| $R (\Omega)$ | ∞ (开路) | 150 | 30 | 0 (短路) |
| $U_{ab} (V)$ | | | | 0 |
| $I (mA)$ | 0 | | | |

参 2. 用上表测得的等效数组成等效电源，如图 3-8。

(U_0 用可调电压稳压源，

R'_0 用电阻箱。

$$R'_0 = R_0 - R_a$$

这里 R_0 是等效内阻，根

据表 3-1 的读数由式(3-1)求出。

R_a 是毫安表的内阻，

为，测另电流从一开始就读

为有源二端网络的一部分)。

重复上述步骤，数据列入表 3-2 中。各电压仍用补偿法测量。

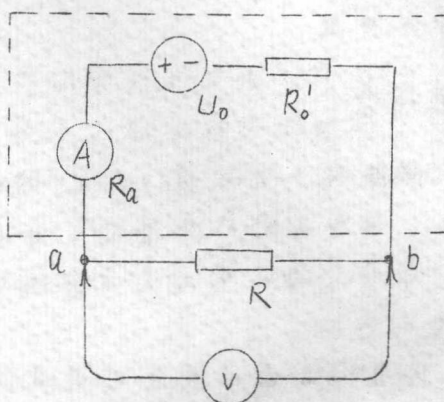


图 3-8

表 3-2

| | | | | |
|--------------|---------------|-----|----|--------|
| $R (\Omega)$ | ∞ (开路) | 150 | 30 | 0 (短路) |
| $U_{ab} (V)$ | | | | 0 |
| $I (mA)$ | 0 | | | |

四、实验设备：

1. 直流稳压电源(电压可调)

两台。(一台用作 U_0 或 U_1 ；另一台用作补偿电源)。

2. 甲电池 一只
 3. 直流电压表(0~15V) 一只
 4. 直流毫安表() 一只
 5. 直流微安表(0~100MA) 一只
 6. 电阻箱 一只
 7. 电阻四 $50\Omega, 100\Omega, 20\Omega, 40\Omega$ (分别作 R_1, R_2, R_3, R_4)
 $150\Omega, 30\Omega$ (作负载电阻 R) 各一只
 8. 滑线变阻器 ($100\Omega, 2A$) 一只
 9. 单刀开关 一只

五. 实验报告:

1. 根据表3-1和表3-2的数据，在同一坐标上作两者的外特性。(两者应该非常接近，如果没有误差，两者应重合。)
2. 有源二端网络内含有非线性元件时，能否用等效电源代替？
3. 只有电压表而没有电流表测得有源二端网络输出电流的情况下，试拟出确定该有源二端网络的等效内阻的方法。
4. 当有源二端网络的输出电压等于其等效电势的一半时，其负载电阻与等效内阻有什么关系？

实验四 阻抗的串联

一、实验目的：

1. 研究阻抗串联电路中电压、电流及功率之间的关系。
2. 熟悉三表法测定交流参数。
3. 巩固交流电路基尔霍夫定律。

二、概述：

1. 交流电路元件的参数可用直读式仪表间接测出，例如对于电阻 \square ，测出其电压 U 及电流 I ，即可标出电阻 $R = \frac{U}{I}$ 。

对于电感、电容也是这样。 $X_L = \frac{U_L}{I}$, $X_C = \frac{U_C}{I}$,

但对电感线圈而言，既有电阻又有电感，相当于电阻、电感串联，而且无法分别测出电阻电压与电感电压，测出的是其总电压 U 、电流 I ，故只能标出它的阻抗 $\underline{Z} = \frac{U}{I}$ 欲求出它的电阻 R 及电感 L ，还需测出其功率 P 。因为 $P = I^2 R$ ，所以

$$R = \frac{P}{I^2}, \text{ 则 } X_L = \omega L = \sqrt{\underline{Z}^2 - R^2}$$

由电压表、电流表、功率表测出 U 、 I 、 P 从而标出 \underline{Z} 、 $X_L (= \omega L) R$ ，这种方法称为测参的三表法。

2. 对于交流串联电路，总电压有效值不等于各部分电压有效值之和，而是相量和。

本实验是用电阻 \square 、电感线圈、电容 \square 串联作为实验电路。因为是串联电路，流入各元件的电流是相等的，在作相量图时以电流工作参考相量比较方便，电阻上的电压与电流同相，电容上的电压落后于电流 90° ，电感线圈的电压超前于电流 90° 角。（读者在预习时列出计算 90° 角的式子）。这样各电压的相量即可作出，按矢量相加法则可得到总电压相量。

三、实验内容：

1. 按图 4-1 联接实验电路。电阻 R 用标称值为 50Ω 变阻器

全电阻；电容选取 $30\mu F$ ，电磁线圈用一组线圈

电压表与功率表的电压线圈并联接出两支测笔，可分别测各段电路上的电压与功率。

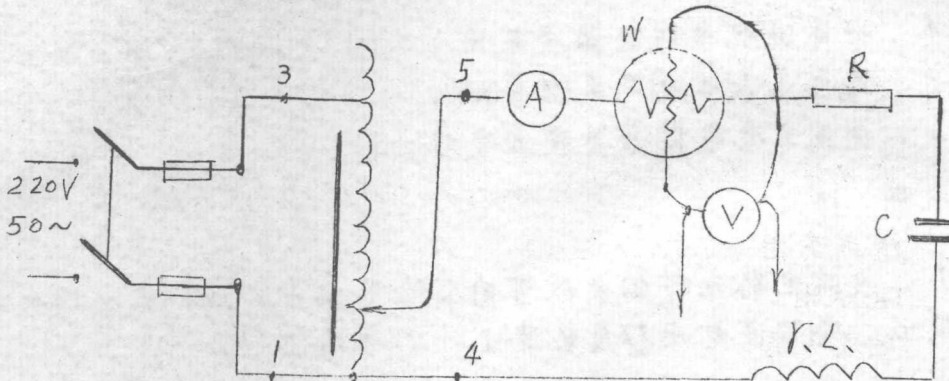


图 4-1

2. 接通电源。调节调压变正四块其输出电压至适当数值，
(为读数方便建议以电流达到1A为准)记下各段电路及全电路
的电压、功率、电流列于下表中。

注意：在接通电源前必须检查调压变压器的手柄是否在输出为零的位置。做完试验，应先将手柄退到零位再断开电源开关。

表 4-1



91089186

15°

四. 实验设备：

1. 调压变压器 (2KVA, 220V-250V) 一只
2. 交流电压表 (0-150-300V) 一只
3. 交流电流表 (0-1-2A) 一只
4. 低功率因数功率表 ($0-2.5-5A$
 $0-150-300V$) 一只
5. 滑线变阻器 ($50\Omega, 2A$) 一只
6. 电容箱 一只
7. 电感线圈 一只

五. 实验报告：

1. 根据测量结果，计算出各段电路及全电路的参数列于表中。
2. 作相量图，从相量图中求出总电压以及总电压与电流的夹角。与测量结果进行比较。